

بررسی اثر دزهای متفاوت پرتوگاما بر ژن HPRT لنفوسیت‌های T خون محیطی انسان

*دکتر محمد تقی بحرینی طوسی، **دکتر طیبه حمزه لویی، ***محمد رضایی

*بخش فیزیک پزشکی، دانشکده پزشکی، دانشگاه علوم پزشکی مشهد

بخش ژنتیک مولکولی، انستیتو پاستور ایران، تهران، *کارشناس ارشد فیزیک پزشکی

خلاصه

پرتوهای یونیزان به عنوان موتاژن، سبب تغییرات ژنتیکی متعددی می‌شوند. اغلب این تغییرات ژنتیکی، حذف‌ها می‌باشند. روش مناسب و رایج برای بررسی این تغییرات، مطالعه جهش‌های ژنی سلول سوماتیک ناشی از پرتوهای یونیزان است. در این مقاله، حذف‌های داخل ژنی و کل ژنی ناشی از دو دز متفاوت پرتوگاما (۳و۲ گری) در ۱۸ نمونه از لنفوسیت‌های T موتانت HPRT با استفاده از روش PCR، مورد مطالعه قرار گرفت. همچنین رابطه بین تعداد سلول‌های موتانت و دزهای متفاوت پرتوگاما تعیین شد. نتایج نشان می‌دهد که رابطه خطی بین سلول‌های موتانت و دز پرتوگاما وجود دارد. در این رابطه، تعداد سلول‌های موتانت در دزهای بالاتر از ۲گری، با شیب افزایش می‌یابند.

موتانت‌های HPRT توسط مجاور سازی نمونه‌های پرتو گرفته با ۶- تیوگوانین جدا شدند. آنالیز PCR موتانت‌های HPRT در دزهای ۳و۲ گری پرتوگاما نشان داد که تفاوت معنی‌داری در تعداد موتانت‌های حاوی حذف‌های داخل ژنی و کل ژنی وجود ندارند. نتایج مربوط به مطالعه نقاط شکست در داخل ژن، مشخص کرد که قسمت میانی ژن HPRT نسبت به پرتوگاما حساس می‌باشد و با افزایش دز، این حساسیت بیشتر می‌شود. همچنین دز پرتوگاما، اندازه حذف‌ها را تحت تاثیر قرار می‌دهد، به طوری که با افزایش دز پرتو، اندازه حذف‌ها بزرگتر می‌شوند. با توجه به این نتایج، پیشنهاد می‌شود که تغییرات ناشی از پرتوهای LET پائین در تعداد لنفوسیت‌های T موتانت، ایجاد حذف‌ها، اندازه حذف‌ها و محل نقاط شکست DNA، وابسته به دز پرتو LET پائین می‌باشد. کلمات کلیدی: LET، PCR، HPRT، لنفوسیت‌های T، ۶- تیوگوانین، حذف

مقدمه

در گذشته، علائم بیولوژیک برای این مقصود، ناهنجاری‌های کروموزومی در لنفوسیت‌های خون محیطی بود. امروزه گروه دیگری از علائم بیولوژیک موثر در انسانها به منظور ارزیابی تاثیر موتاژنها، مورد استفاده قرار می‌گیرد که به عنوان جهش‌های ژن سلول سوماتیک شناخته شده است. اطلاعات مولکولی که از سیستم‌های سنجش حاصل می‌گردد، در تعیین مکانیسم‌های موتاژن، پرتوی، ارزیابی پرتوگیری و برآورد خطر در آسیب ژنتیکی انسان ناشی از پرتو، ضروری می‌باشد (۲، ۸). در اغلب سیستم‌های موجود برای تعیین جهش‌های سلول‌های سوماتیک، از لنفوسیت‌های T خون محیطی استفاده می‌گردد.

با کشف اچ. جی. مولو (H. J. Muller) در سال ۱۹۲۷، که پرتوهای یونیزان سبب ایجاد جهشها در دروزوفیلا می‌شوند، توجهات به آزمایشاتی در مورد اثرات و خطرات ناشی از پرتو جلب شد (۶). در ابتدا، اغلب تحقیقات رادیوبیولوژیک، در سیستم‌های ساده‌ای از جمله باکتری‌ها انجام گرفت. به تدریج با پیشرفت دانسته‌ها و روش‌های بیولوژی، سلول‌های پستانداران و در نهایت سلول‌های انسانی مورد استفاده قرار گرفت. درک مکانیسم‌های اساسی اثرات پرتوهای یونیزان بر سلول با توسعه روش‌های بیولوژی مولکولی، سرعت گرفت (۷). پاسخ بیولوژیک سلول‌های سوماتیک در شرایط *in vivo*، امکان قابل توجهی در پرتوگیری انسانها را فراهم می‌سازد.

قرار داده شد. بعد از اتمام سانتریفیوژ لئفوسیتها که به صورت لایه سفید رنگی در ته لوله آزمایش باقی می ماند، از لوله خارج شدند. لئفوسیتها ۲ بار توسط نرمال سالین سرد شستشو شد، سپس در فلاسکهای ۲۰۰ ml همراه با ۲۰ ml محیط کشت حاوی RPMI 1640، ۱۵ درصد سرم جنین گاوی (FCS)، ۱ μl/ml پنی سیلین، ۱ μl/ml آمفوتریسین و ۴ μl/ml استرپتومایسین قرار گرفتند. به منظور رشد و تکثیر لئفوسیتها، ۰/۱ μg/ml فیتوهموگلوبین (PHA) به هر فلاسک اضافه گردید. فلاسک ها در انکوباتور مرطوب با ۵ درصد CO₂ و ۳۷ درجه سانتیگراد قرار گرفتند. بعد از ۴۸ ساعت سلولها شمارش شدند و سپس در معرض پرتو گاما قرار گرفتند.

شرایط پرتودهی: برای پرتودهی فلاسکهای حاوی لئفوسیت، از چشمه کبالت ۶۰ موجود در بخش رادیوتراپی بیمارستان امید مشهد استفاده شد. دو فلاسک A و B به ترتیب در معرض ۳ و ۲ گری پرتو گاما قرار گرفتند. دستگاه کبالت مورد استفاده، Picker Apc c9 بود که دزیمتری آن توسط اطاقک یونیزان ۰/۶ میلی لیتری و فارمر مدل ۰/۱ ۲۵۷ انجام گرفته بود.

جداسازی لئفوسیتهای موتانت: بعد از پرتودهی، فلاسک ها به انکوباتور منتقل شدند. ۴۰-۳۶ ساعت بعد از پرتودهی، هر فلاسک به ۹ فلاسک حاوی ۷ میلیون سلول پاساژ داده شد. سپس به منظور رشد لئفوسیتهای T موتانت، اینترلوکین ۲ (IL-2) به مقدار ۱۵ unit/ml همراه با ۶- تیوگوانین به مقدار ۱ μg/ml به هر فلاسک اضافه گردید. سه و پنج روز بعد از پرتودهی، محیط کشت تعویض شد (subculture) و در روز هفتم، استخراج DNA صورت گرفت.

استخراج DNA از لئفوسیتهای T موتانت: برای استخراج DNA از لئفوسیتهای T موتانت، از کیت DXP™ تهیه شده از شرکت سینا ژن استفاده گردید. این کیت، با استفاده از روش آنزیماتیک، منجر به استخراج DNA می گردد. واکنشهای PCR: تکثیر ۸ قطعه از توالی ژنوم HPRT که محتوی ۹ اگزون ژن HPRT بود، انجام گرفت. مشخصات پرایمرهای مورد استفاده در جدول ۱ آمده است.

سیستم سنجش سلولهای T، اجازه ارزیابی تاثیر موتازنها را در شرایط *in vitro* و امکان مدل سازی این تاثیرات در شرایط *in vivo* را فراهم می سازد (۲). سنجش جهش براساس نقص لکوس هایپوگزانتین - گوانین فسفوریبوزیل ترانسفراز (HPRT)، در لئفوسیتهای T خون محیطی، اولین روش توسعه یافته بود. ژن Phosphoribosyltransferase Hypoxanthine-Guanine موجب تولید آنزیم HPRT می شود که در بیوسنتز پورینها نقش دارد (۴، ۱۹). آنالوگهای سمی پورین، از جمله ۶- تیوگوانین، با فعالیت آنزیم HPRT به متابولیتهای سمی تبدیل شده و سبب آسیب DNA می شوند. در غیاب آنزیم HPRT، این تبدیل متابولیک صورت نمی گیرد، در نتیجه آنالوگهای پورین برای سلول سمی نمی شوند. مطالعات قبلی در مورد تاثیر پرتوهای یونیزان بر جهشهای لکوس HPRT نشان می دهد که جهش غالب ناشی از پرتوهای یونیزان، حذفها می باشند (۱۲، ۱۶).

در این مطالعه، موتانتهای HPRT ناشی از پرتو گاما در دزهای ۳ و ۲ گری که مقاوم به ۶- تیوگوانین بودند، با استفاده از روش PCR آنالیز شدند و حذفهای داخل ژنی و کل ژنی آنها مورد بررسی قرار گرفت. PCR یک واکنش زنجیره ای و روشی سریع با توانایی های بسیار برای تکثیر توالی مورد نظر از یک منبع DNA می باشد.

اهداف این تحقیق عبارتند از:

- ۱- تعیین تغییرات حذف اگزون ژن HPRT ناشی از دزهای متفاوت پرتو گاما
- ۲- تعیین تمرکز حذفهای ناشی از پرتو گاما در ژن HPRT

مواد و روش کار

کشت لئفوسیتها: ۲۰ میلی لیتر خون محیطی از یک مرد بالغ تهیه شد و لئفوسیتهای هر ۱۰ میلی لیتر خون با استفاده از روش Ficoll-paque جدا گردید. در این روش به ۵ میلی لیتر خون آغشته به EDTA که با نرمال سالین رقیق شده است، ۵ میلی لیتر فایکول به آرامی اضافه گردید و سپس ترکیب فوق به مدت ۱۵ دقیقه در سانتریفیوژ با ۲۰۰۰ rpm

ژنی مشاهده شد. ۱۲ حذف داخل ژنی شامل ۲ حذف داخل اگزونی (اگزونهای ۱ و ۲) و ۱۰ حذف اگزونی بود. در یک نمونه هیچ حذفی مشاهده نشد. اطلاعات مربوط به نوع، محل و اندازه حذفها در نمونه هایی که ۲ و ۳ گری پرتو گرفته اند، در جدول ۲ آمده است.

تعداد و نوع حذفها در نمونه هایی که ۲ و ۳ گری پرتو گرفته اند، با هم مقایسه شدند و نتایج آن در جدول ۳ آمده است. با افزایش دز، حذف کل ژن افزایش می یابد، ولی این افزایش معنی دار نیست (آزمون X^2). تعداد نمونه هایی که دارای حذفهای داخل ژنی بودند، برابر نمونه هایی که بدون حذف بودند، با افزایش دز کاهش یافتند، ولی این کاهش معنی دار نبود. بررسی اندازه حذفها: در این بررسی حذفهای بیشتر و کمتر از ۱ Kbp با هم مقایسه شدند. نتایج حاصل از این بررسی در جدول ۴ آمده است. نتایج نشان می دهد که با افزایش دز، حذفهای با اندازه بیش از ۱ Kbp افزایش می یابند (P-Value = ۰/۱۳۴) با استفاده از آزمون X^2 . در این بررسی فرض شد که اگزون های حذف شده مجاور هم حاصل از یک حذف می باشد.

تعداد حذفهای داخل ژنی در نمونه ها: در این بررسی نمونه ها به دو دسته تقسیم شدند. نمونه هایی که تنها دارای یک حذف داخل ژنی بودند و نمونه هایی که بیش از یک حذف داخل ژنی داشتند. اطلاعات مربوط به این بررسی در جدول ۵ آمده است. با افزایش دز، نمونه هایی که تنها شامل یک حذف بودند، کاهش معنی داری یافتند. همچنین نمونه هایی که بیش از یک حذف داشتند، به طور معنی داری افزایش پیدا کردند (P-Value = ۰/۰۶۵۳).

تعداد اگزونهای حذف شده: اگزونهای حذف شده در ۹ نمونه ای که ۲ گری و ۸ نمونه ای که ۳ گری پرتو گرفته اند، با هم مقایسه شدند. اطلاعات مربوط به این بررسی در جدول ۶ آمده است. نتایج نشان می دهد که با افزایش دز، تعداد حذفها در اگزونهای ۳، ۴ و ۵ افزایش می یابد. این ازدیاد با سطح اطمینان ۶۸ درصد معنی دار می باشد (آزمون X^2).

در ابتدا multiplex PCR (mPCR) در دو واکنش برای هر نمونه انجام گرفت. در واکنش اول، اگزونهای کوچک شامل ۱، ۲، ۴ و ۶ در واکنش دوم اگزونهای بزرگ شامل ۳، ۵، ۷+۸ و ۹ تقویت شدند. غلظت پرایرها در واکنش mPCR برابر بودند با $0.1 \mu\text{M}$ برای اگزونهای ۴ و ۲، $0.16 \mu\text{M}$ برای اگزونهای ۳ و ۶، $0.2 \mu\text{M}$ برای اگزون ۹، $0.24 \mu\text{M}$ برای اگزون ۵ و ۷+۸، $0.5 \mu\text{M}$ برای اگزون ۱. بافر مورد استفاده حاوی MgCl_2 (۶/۸ mM)، $(\text{NH}_4)_2\text{SO}_4$ (۱۶/۶ mM)، 2ME (۵mM)، EDTA (۶/۸ μM) و Tris-HCL (۱۶/۶ mM، pH ۸/۸) بود. واکنش با اضافه نمودن بافر، پرایر، DMSO (۱۰٪) و $1/5 \text{ mM}$ از هر dNTP به DNA در لوله PCR آغاز شد. روش انجام واکنش، Hot star PCR بود. به لوله فوق، ۳۰ میکرولیتر Mineral Oil اضافه گردید و به مدت ۴/۵ دقیقه در درجه حرارت ۸۰ درجه سانتیگراد قرار گرفت. سپس ۴ واحد آنزیم پلیمرز Taq به لوله اضافه شد و واکنش در ۳۳ سیکل، ۹۴ درجه سانتیگراد به مدت ۳۰ ثانیه، ۶۱ درجه سانتیگراد به مدت ۲ دقیقه و ۶۸ درجه سانتیگراد به مدت ۲ دقیقه، انجام گرفت. واکنش با ۶۸ درجه سانتیگراد به مدت ۷ دقیقه پایان گرفت (۵، ۱۵). برای بررسی دقیق تر اگزونهای حذف شده و حذفهای داخل اگزونی، PCR هر اگزون به تنهایی نیز صورت گرفت. غلظت پرایرها به جز پرایرهای اگزون ۱، $0.6 \mu\text{M}$ بود. غلظت پرایرهای اگزون ۱، $10 \mu\text{M}$ بود. شرایط واکنش مانند mPCR بود (۵، ۱۵).

نتایج

آنالیز mPCR و PCR اگزونهای ژن HPRT نشان می دهد که در نمونه هایی که ۲ گری پرتو گرفته اند (۹ نمونه)، ۱۰ حذف مشاهده شد که تمام آنها حذفهای داخل ژنی بودند. ۲ حذف داخل اگزون و ۸ حذف اگزونی مشاهده گردید. برخلاف انتظار، در این نمونه ها هیچ حذف کل ژن دیده نشد. حذفهای داخل اگزونی، در اگزون های ۱ و ۹ وجود داشتند. در دو نمونه هیچ حذفی مشاهده نشد. در نمونه هایی که ۳ گری پرتو گرفته اند (۹ نمونه)، ۱۲ حذف داخل ژنی و یک حذف کل

اثر پرتوگاما بر ژن HPRT

جدول ۱: مشخصات پرایمرهای ژن HPRT

اندازه (bp)	اگزون	توالی پرایمر (5' → 3')
1F 1R	۱	TGG GAC GTC TGG TCC AAG GAT TCA CCG AAC CCG GGA AAC TGG CCG CC
2F 2R	۲	TGG GAT TAC ACG TGT GAA CCA ACC GAC TCT GGC TAG AGT TCC TCC TCC
3F 3R	۳	CCT TAT GAA ACA TGA GGG CAA AGG TGT GAC ACA GGC AGA CTG TGG ATC
4F 4R	۴	TAG CTA GCT AAC TTC TCA AAT CTT CTA G AAT AAC CTA GAC TGC TTC CAA GGG
5F 5R	۵	CAG GCT TCC AAA TCC CAG CAG ATG GGG AAC CAC ATT TTG AGA ACC ACT
6F 6R	۶	GAC AGT ATT GCA GTT ATA CAT GGG G CCA AAA TCC TCT GCC ATG CTA TTC
7F 8R	۷+۸	GAT CGC TAG AGC CCA AGA AGT CAA AAC G TAT GAG GTG CTG GAA GAA AAC
9F 9R	۹	GAG GCA GAA GTC CCA TGG ATG TGT CCG CCC AAA GGG AAC TGA TAG TC

جدول ۲: الف- اندازه، نوع و محل حذفهای نمونه های A (نمونه هایی که ۲ گری پرتو گرفته اند)

نمونه	نوع حذف	اگزون (اگزونهای حذف شده)	اندازه حذف (جفت باز bp)
A _۱	اگزون	۵	۷۰۸
A _۲	اگزون	۴	۳۳۴
A _۳	اگزون	۴	۳۳۴
A _۴	اگزون	۷+۸	۱۵۳۳
A _۵	اگزون	۲	۵۷۲
A _۶	داخل اگزون	۱	~۵۰۰
A _۷	اگزون	۱-۳-۶-۷+۸	-۴۴۱-۱۵۳۳(۵۳۰۰)* ۶۲۷-۱۰۵۹
	داخل اگزون	۹	~۷۰۰
A _۸	اگزون	-	-
A _۹	اگزون	-	-

اندازه حذف داخل پراتنز مربوط به حذفی است که اگزون ۶ و ۷+۸ را در بر بگیرد.

جدول ۲: ب- اندازه، نوع و محل حذفها در نمونه های B (نمونه هایی که ۳ گری پرتو گرفته اند)

نمونه	نوع حذف	اگزون (اگزونهای حذف شده)	اندازه حذف (جفت باز bp)
B _۱	اگزون	۵	۷۰۸
B _۲	اگزون	۴	۳۳۴
B _۳	کل ژن	تمام اگزون ها	۵۶/۷۳۷ کیلو جفت باز
B _۴	-	-	-
B _۵	اگزون	۴-۵-۹	-۳۳۴-۷۰۸ (۴۳۳۵)-۱۲۷۸
B _۶	اگزون	۴	۳۳۴
B _۷	اگزون	۳	۱۰۵۹
	داخل اگزون	۱-۲	۵۰۰-۳۰۰
B _۸	اگزون	۴-۵-۷	۳۳۴-۷۰۸ (۴۳۳۵)-۱۵۳۳
B _۹	اگزون	۳-۴	۱۰۵۹-۳۳۴-(۱۱۳۱۴)

جدول ۳: مقایسه حذفهای مشاهده شده در نمونه های A و B

نمونه (دز)	تعداد نمونه های حذف شده	تعداد حذف کل	تعداد حذف داخلی	تعداد نمونه های بدون حذف
A (۲Gy)	۹	-	۷ (۷۸٪)	۲ (۲۲٪)
B (۳Gy)	۹	۱ (۱۱٪)	۷ (۷۸٪)	۱ (۱۱٪)

جدول ۴: مقایسه اندازه حذفها در نمونه های A و B

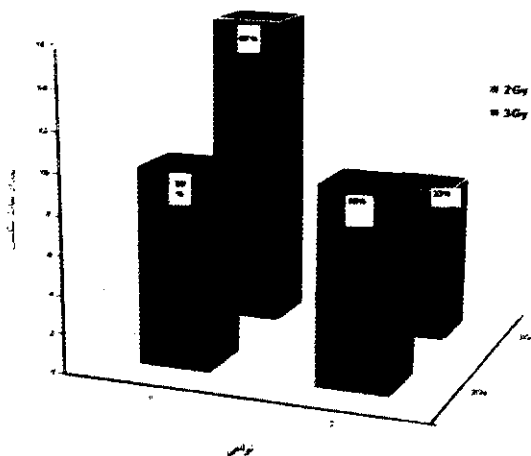
اندازه حذف	A (۲Gy)	B (۳Gy)
بزرگتر از یک کیلو جفت باز	۳	۸
کوچکتر از یک کیلو جفت باز	۷	۵

جدول ۵: مقایسه تعداد حذفهای داخلی زنی در نمونه های A و B

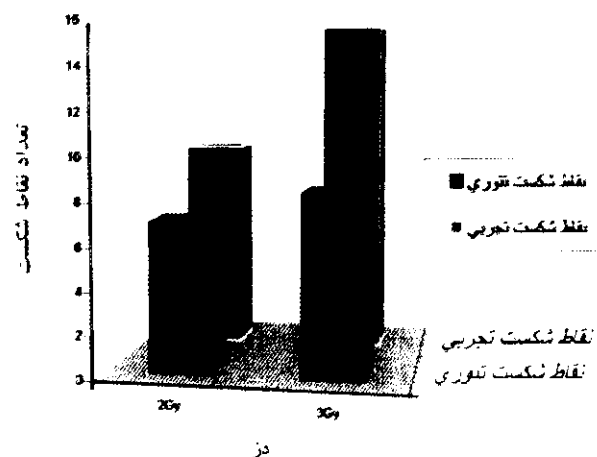
نمونه	تعداد نمونه های دارای یک حذف	تعداد نمونه های دارای بیش از یک حذف
A	۶	۱
B	۲	۵
P-Value	۰/۰۶۵۳	-

جدول ۶: مقایسه تعداد اکزون های حذف در نمونه A و B

نمونه	تعداد	Ex۱	Ex۲	Ex۳	Ex۴	Ex۵	Ex۶	Ex۷+A	Ex۸
A	۹	۲	۱	۱	۲	۱	۱	۱	۱
B	۸	۱	۱	۳	۴	۴	-	۱	۲
P-Value	-	-	-	۰/۲۱۱۷۶	۰/۲۳۱۵۶	۰/۰۷۹۰۲	-	-	-



شکل ۲: مقایسه نقاط شکست در دزهای ۲ و ۳ گری در دو ناحیه او۲. ناحیه ۱ منطقه پرتو دوست و ناحیه ۲ بقیه نواحی زن می باشد.



شکل ۱: مقایسه نقاط شکست باتوجه به نتایج تجربی (آزمایشگاهی) و تئوری در دوزهای ۲ و ۳ و در ناحیه پرتو دوست

حذفهای کل ژن در سلولهای دیگر و دزهای متفاوت نیز تعیین شدند که در آنها حذفهای کل ژن بیشتر از مقدار آن در مطالعه حاضر می باشد (۳، ۱۳، ۱۴، ۱۶). در دز ۲ گری هیچ حذف کل ژن مشاهده نشد.

درحالی که در مطالعات گذشته، حذفهای کل ژن در دز ۲ گری دیده شده بود. به نظر می رسد که باید در این دز، تعداد نمونه های مورد مطالعه، افزایش یابد. در ۲۲ درصد نمونه هایی که دز ۲ گری گرفته بودند، هیچ حذف مشاهده نشد. در همین دز و در سلولهای لنفوبلاستوئید B، ۳۳ درصد نمونه ها، حذفی را نشان ندادند (۱۳)، در سلولهای فیبروبلاست پوست انسان، این مقدار به ۴۱ درصد افزایش یافت (۱۶).

همچنین در مطالعه حاضر، ۱۱ درصد از نمونه هایی که ۳ گری پرتو گرفته اند، بدون حذف بودند. درصد نمونه های دارای حذفهای داخل ژنی در هر دو گروه برابر بودند (۷۸ درصد). مرور مطالعات گذشته در این زمینه، مشاهدات متفاوتی را نشان می دهد:

در دز ۲ گری، ۶۷ درصد نمونه های حاوی لنفوبلاستوئید B انسان (۱۳) و ۴۱ درصد نمونه های حاوی فیبروبلاست پوست انسان (۱۶) دارای حذفهای داخل ژنی بودند. در دزهای دیگر نیز، مقادیری متفاوت مشاهده شده است (۳، ۱۴، ۱۶). در مقایسه بین دو گروه، با افزایش دز افزایشی در حذفهای کل ژن مشاهده می شود، ولی این افزایش معنی دار نیست. افزایش حذفهای کل ژن در سلولهای فیبروبلاست پوست انسانی نیز همراه با افزایش دز مشاهده شد، ولی این افزایش نیز معنی دار نبود (۱۶).

در مطالعات مختلف بر روی سلولهای لنفوبلاستوئید B انسانی، این افزایش دیده شد (۳، ۱۳). با توجه به تغییرات ژنتیکی حاصل از پرتوهای یونیزان، این افزایش طبیعی به نظر می رسد. با افزایش دز، تغییرات ژنتیکی حاصل از عمل مستقیم و غیرمستقیم پرتو، افزایش می یابد. بنابراین تعداد رادیکالهای آزاد و همچنین احتمال ایجاد SSBs نزدیک به هم که منجر به DSBs می شود، افزایش می یابند. در نتیجه باید تعداد

تمرکز حذفهای داخل ژنی: در این بررسی تعداد نقاط شکست و محل تقریبی آنها در ژن مورد مطالعه قرار گرفت. حداقل تعداد نقاط شکست در نمونه هایی که ۳ و ۲ گری پرتو گرفته اند به ترتیب ۲۰ و ۲۴ نقطه شکست بود. با توجه به نقاط شکست، ناحیه متمرکزی بین آگزون ۲ و ۶ وجود دارد. ۱۰/۲۰ (۵۰ درصد) نقاط شکست در نمونه هایی که ۲ گری پرتو گرفته اند و ۱۶/۲۴ (۶۷ درصد) نقاط شکست در نمونه هایی که ۳ گری پرتو گرفته اند، در این ناحیه متمرکز قرار داشت (شکل ۲، ۱). نتایج نشان می دهد که این ناحیه متمرکز نسبت به پرتو گاما حساس می باشد. با افزایش دز تعداد نقاط شکست در ناحیه متمرکز افزایش می یابد (P-Value = ۰/۲۶۲).

بحث

تحقیقات در مورد تغییرات ژنتیکی ناشی از پرتوهای یونیزان به عنوان موتازن، با دو هدف عمده انجام می گیرد. این دو هدف شامل ایجاد يك دزيمتر بيولوژيك و مشخص کردن مکانیسم های رادیوموتازنیک (Radiomutagenic) می باشد. اکثر مطالعات در این زمینه، نشان می دهد که حذفها، غالب ناشی از پرتو یونیزان می باشند (۱۲، ۱۶). در این مطالعه، حذفهای داخل ژنی و کل ژنی ناشی از دزهای متفاوت پرتو گاما در ژن HPRT لنفوسیت های T خون محیطی انسان، مورد بررسی قرار گرفت.

در این تحقیق، ۱۸ نمونه حاوی لنفوسیت های T موتانت در معرض پرتو گاما با دزهای ۳ و ۲ گری قرار گرفته اند (۹ نمونه دز ۲ گری و ۹ نمونه دز ۳ گری)، با روش mPCR و PCR آنالیز شدند. در دزهای ۳ و ۲ گری، تعداد نمونه هایی که دارای حذف کل ژن و حذف داخل ژنی بودند، تفاوت معنی داری نداشتند. ۱۱ درصد نمونه هایی که دز ۳ گری پرتو گرفته اند، دارای حذف کل ژن بودند. این مقدار مشابه با مقدار مشاهده شده در مطالعات ریچارد. جی. آلبرتینی و همکارانش بود. در آن مطالعه از پرتو گاما حاصل از سزیم ۱۳۷ با دز ۳ گری استفاده شده بود (۲). در مطالعات دیگر،

نشده است، اما از مکانیسمهای محتمل می توان به مکانیسم lipage-misalignment (۱۳، ۱۸)، نوترکیبی onhomologus و توالی های تکراری ALU اشاره نمود. در مطالعات گذشته، مشخص شده است که اندازه تغییرات ژنتیکی وابسته به دز پرتو است (۱، ۱۶). نتایج مطالعه حاضر نیز، این موضوع را تأیید می کند. با افزایش دز تعداد حذفهای بزرگتر از یک کیلو جفت باز افزایش می یابد. ۶۲ درصد (۸/۱۳) حذفهای داخل ژنی در نمونه هایی که ۳ گری پرتو گرفته اند بیش از یک کیلو جفت باز را شامل شدند، درحالی که این مقدار در نمونه هایی که ۲ گری پرتو گرفته اند، ۳۰ درصد (۳/۱۰) بود. به طور خلاصه، دزهای پرتو یونیزان LET پائین، عاملی موثر در تغییرات ژنتیکی می باشد.

به طوری که تغییرات در دز پرتو سبب ایجاد تغییرات در ایجاد حذفها، اندازه حذفها و محل نقاط شکست در داخل ژن می گردد. با این حال پیشنهاد می شود که اینگونه مطالعات با تعداد نمونه های بیشتری انجام گیرد تا بتوان به روابط کمی دیگر نیز دست پیدا کرد.

تشکر و قدردانی

نویسندگان بر خود لازم می دانند که از معاونت محترم پژوهشی دانشگاه علوم پزشکی و خدمات بهداشتی درمانی مشهد که با مساعدتهای آن معاونت انجام این تحقیق میسر گردید، جناب آقای دکتر جلیل توکلی افشار که درمدت انجام این تحقیق از راهنماییهای با ارزش ایشان استفاده نمودیم، جناب آقای غلامین مسئول آزمایشگاه ژنتیک انسانی پژوهشکده بوعلی، سرکار خانم صیفی، مسئول آزمایشگاه کشت سلولی پژوهشکده بوعلی، جناب آقای غلامحسینیان و جناب آقای لایق کارشناسان فیزیک بخش رادیوتراپی بیمارستان امید مشهد صمیمانه تشکر و قدردانی نمایند.

References

1. Aghamohammadi S. Z., Morris T., Stevens D. L., Thacker J., 1992, Rapid screening for deletion mutations in the harp gene using the polymerase chain reaction: X-ray and α -particle mutant spectra, Mut. Res., 265:269,1-7.

شکست های دو رشته ای افزایش یابند که در عمل نیز مشاهده شد. با افزایش دز، نمونه هایی که دارای بیش از یک حذف داخل ژنی بودند، به طور معنی داری افزایش یافتند. ۶۷ درصد نمونه هایی که ۳ گری پرتو گرفته اند، بیش از یک حذف داخل ژنی داشتند، درحالی که این مقدار برای نمونه هایی که ۲ گری پرتو گرفته اند، ۱۱ درصد رسید (P-Value = ۰/۰۰۵۴). این مشاهدات نسبت به مطالعات مشابه در سلولهای دیگر نتیجه عکس دارد. در سلولهای فیروپلاست پوست انسانی، با افزایش دز، حذفهای داخل ژنی کاهش می یابند (۱۶). این نتایج پیشنهاد می کند که نوع سلول از جمله فاکتورهای موثر در تغییرات ژنتیکی می باشد (۱۱).

توزیع ناحیه شکست و تعیین نقاط حساس به پرتو در ژن HPRT، از موارد قابل توجه در چنین مطالعاتی می باشد. در مطالعات متعدد بر روی سلولهای متفاوت، نتایج مختلفی نیز به دست آمده است. در سلولهای فیروپلاست پوست انسانی، تمایل توزیع نقاط شکست به سمت ۳' ژن HPRT (۱۶) و در سلولهای لنفوبلاستوئید B انسانی، تمایل توزیع به سمت ۵' ژن HPRT (۱۳) گزارش شده است. لنفوسیتهای T، حذفهای داخل اگزونی در اگزون های ۲، ۳ و ۶ گزارش شده است (۹، ۱۲، ۱۳، ۱۸).

در مطالعه حاضر نیز این نتیجه به دست آمد که نقاط شکست به طور تصادفی توزیع نمی شوند. تقریباً قسمت میانی ژن HPRT نسبت به پرتو گاما حساس می باشد که با افزایش دز پرتو، این حساسیت بیشتر می گردد. این ناحیه بین اگزون ۲ و ۶ قرار دارد و تقریباً یک سوم ژن HPRT را تشکیل می دهد. با در نظر گرفتن حداقل نقاط شکست، ۵۰ درصد (۱۰/۲۰) نقاط شکست در نمونه هایی که ۲ گری پرتو گرفته اند و ۶۷ درصد (۱۶/۲۴) نقاط شکست در نمونه هایی که ۳ گری پرتو گرفته اند، در این ناحیه قرار دارد. این نتایج، نظریه جان بی. لیتل (John B. Little) و همکارانش را در مورد سلول که فاکتوری موثر در تغییرات ژنتیکی می باشد را تأیید می کند (۱۱). مکانیسمی مشخص برای پرتو دوستی این ناحیه تعیین

11. Little J. B., Nagasawa H., Pfenning T., Vetrovs H., 1997, Radiation-induced genomic instability: delayed mutagenic and cytogenetic effects of X-rays and alpha particles, *Radiat. Res.*, 148, 299-307.
12. Nell J. P. O., Sullivan L. M., Albertini R. J., 1990, In-Vitro induction, expression and selection of thioguanine resistant mutants with human T-lymphocytes, *Mutat. Res.*, 240, 135-142.
13. Nelson S. L., Giver C. R., Grosovsky A. J., 1994, Spectrum of X-ray-induced mutations in the human *hprt* gene, *Carcin.*, 15(3), 495-502.
14. Nelson S. L., Jones I. M., Fuscoe J. C., Burkhardt K. J., Grosovsky A. J., 1995 Mapping the end points of large deletions affecting the *hprt* locus in human peripheral blood cells and cell lines, *Radiat. Res.*, 191, 2-10.
15. Osterholm A. M., Falt S., Lambert B., Hou S. M., 1995, Classification of mutations of the human *hprt* locus in T-lymphocytes of bus maintenance worker by multiplex-PCR and reverse Transcriptase-PCR analysis, *Carcin.*, 16(8), 1909-1912.
16. Parks M. S., Jaberabonsari A., Chen D. J., 1995, Molecular analysis of gamma-ray-induced mutations at the *hprt* locus in primary human skin fibroblasts by multiplex polymerase chain reaction, *Radiat. Res.*, 141, 11-18.
17. Podlutzky A., Osterholm A. M., Hox S. M., Hofmair A., Lambert B., 1998, Spectrum of point mutations in the coding region of the hypoxanthine guanine phosphoribosyltransferase (*hprt*) gene in human T-lymphocyte in-vivo, *Carcin.*, 19(4), 557-566.
18. Shimahara H., Ato T. K., Hirai Y., Akiyama M., 1995, Spectrum of in-vivo *hprt* mutations in T-lymphocytes from atomic bomb survivors. I. Sequence alteration in cDNA, *Carcin.*, 16(3), 583-591.
19. Wilson J. M., Kelley W. N., 1983, Molecular basis of hypoxanthine-guanine phosphoribosyltransferase deficiency in a patient with the Lesch-Nyhan Syndrome, *J. Clin. Invest.*, 71, 1335.
2. Albertini R. J., Scott clork L. J., Nicklas A., O'Neill J. P., Hai T. E., Jostes R., 1997, Radiation quality affects the efficiency of induction and the molecular spectrum of HPRT mutations in human T cells, *Radiat. Res.*, 198, S76-S86.
3. Bao C. Y., Evans H. H., Horng M. F., Enel J. M., Hui T. E., Sedwich W. D., 1995, Molecular analysis of hypoxanthine phosphoribosyltransferase gene deletions induced by α and X-radiation in human lymphoblastoid cells, *Mutat. Res.*, 326, 1-15.
4. Davidson B. L., Tarle S. A., Palella T. D., Kelley W. N., 1989, Molecular basis of hypoxanthine-guanine phosphoribosyltransferase deficiency in ten subjects determined by direct sequencing of amplified transcripts, *J. Clin. Invest.*, 84, 342-349.
5. Gibbs R. A., Nguyen P. N., Edwards A., Civitello A. B., Caskey C. T., 1990 Multiplex DNA deletion detection and exon sequencing of the hypoxanthine phosphoribosyltransferase gene in Lesch-Nyhan families, *Genomics*, 7, 235-244.
6. Hall E. J., 1994, *Radiobiology for the Radiologist*; Fourth Edition J. B. Lippincott company, Philadelphia.
7. Hall E. J., 1997, what will molecular biology contribute to our understanding of radiation-induced cell killing and carcinogenesis?, *Int. J. Radiat. Biol.*, 53(3), 110-115.
8. Hsie A. W., Porter R. C., Xu Z., Yu Y., Sun J., Meltz M. L., Schwartz J. L., 1996, Molecular markers of ionizing radiation-induced gene mutations in mammalian cells, *Env. Heal. Persp.*, 104(3), 675-678.
9. Khiadakov M., Young D., Erfle H., Mortimer A., Voron Y., Kovand B. W., 1997, Glickman; Molecular analysis of mutations in T-lymphocytes from experience Soviet Cosmonauts, *Env. and Mol. Mutag.*, 30, 21-30.
10. Kondalis A. S., Aa A. D., Cruz J., Curry A., Nohturfft M. P., Curado B. W., 1997, Glickman; Molecular analysis of T-lymphocyte HPRT mutations in individual exposed to ionizing radiation in Goiania, Brazil, *Env. and Mol. Mutag.*, 29, 107-116.